



# 高考总复习单元测评卷

命题新趋势 高考新题型

## 真题分类精练

ZHENTIFENLEIJINGLIAN 主编：肖德好

Geography  
地理

开明出版社

# CONTENTS

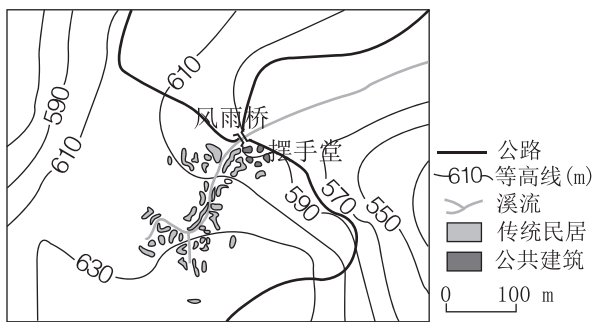
## 目录

考点 1 地球与地图 .....	练 01
考点 2 地理图像绘制 .....	练 02
考点 3 地球自转及其地理意义 .....	练 04
考点 4 地球公转及其地理意义 .....	练 05
考点 5 大气组成、分层、受热过程与大气运动 .....	练 06
考点 6 气压带和风带 .....	练 07
考点 7 常见天气系统 .....	练 08
考点 8 生活中的地理专项训练——天气变化 .....	练 09
考点 9 气候类型与自然景观 .....	练 11
考点 10 水循环、陆地水体及其相互关系 .....	练 12
考点 11 海水性质、海水运动与海—气相互作用 .....	练 13
考点 12 内力作用与地貌 .....	练 15
考点 13 外力作用与地貌 .....	练 16
考点 14 生活中的地理专项训练——河流变迁 .....	练 18
考点 15 自然环境的整体性 .....	练 19
考点 16 自然环境的地域差异 .....	练 21
考点 17 植被与土壤 .....	练 22
考点 18 自然灾害及防灾减灾 .....	练 24
考点 19 人口分布与人口容量 .....	练 25
考点 20 人口迁移 .....	练 26
考点 21 生活中的地理专项训练——人口增长与问题 .....	练 27
考点 22 城市空间结构与地域文化 .....	练 29
考点 23 城镇化 .....	练 30

考点 24	农业区位因素及其变化 .....	练 31
考点 25	工业区位因素及其变化 .....	练 33
考点 26	服务业区位因素及其变化 .....	练 35
考点 27	生活中的地理专项训练——传统文化 .....	练 36
考点 28	交通运输布局与区域发展 .....	练 38
考点 29	环境问题与可持续发展 .....	练 39
考点 30	中国国家发展战略 .....	练 40
考点 31	区域与区域发展 .....	练 41
考点 32	生态脆弱区的综合治理 .....	练 42
考点 33	资源枯竭型城市的转型发展 .....	练 43
考点 34	城市的辐射功能 .....	练 44
考点 35	地区产业结构的变化 .....	练 45
考点 36	流域内协调发展 .....	练 46
考点 37	资源跨区域调配 .....	练 47
考点 38	产业转移与国际合作 .....	练 48
考点 39	资源安全与国家安全 .....	练 49
考点 40	环境安全与国家安全 .....	练 51
考点 41	世界地理概况 .....	练 53
考点 42	世界地理分区 .....	练 54
考点 43	世界主要国家 .....	练 55
考点 44	中国地理概况 .....	练 56
考点 45	中国人文地理 .....	练 57
考点 46	中国地理分区 .....	练 58

## 考点1 地球与地图

[2024·新课标全国卷] 湖南省永顺县双凤村是一个典型的土家族村寨,地处武陵山区腹地,村寨中一条小溪蜿蜒流淌,潺潺水声伴随着弯弯青石板路和依山而建的土家转角吊脚楼,勾勒出一幅土家山寨的美丽画卷,被誉为中国“土家第一村”。图甲示意双凤村的建筑分布,图乙示意在建的转角吊脚楼。据此完成1~3题。



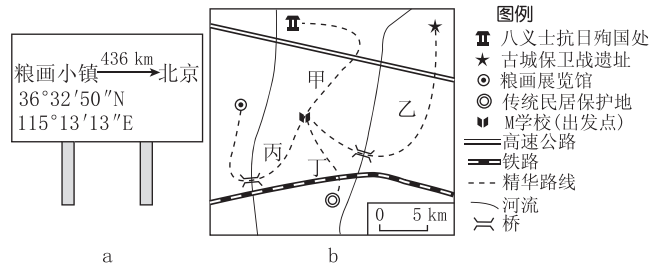
甲



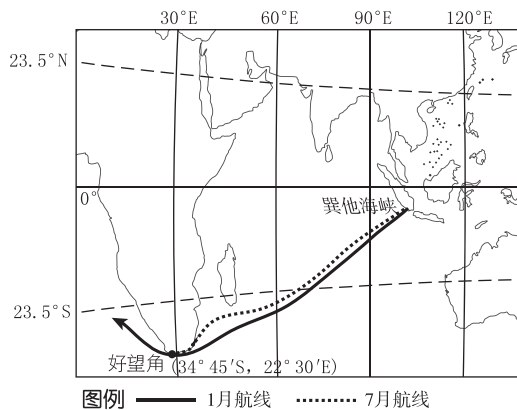
乙

- 双凤村传统民居的空间分布特点是 ( )
  - 沿等高线分布
  - 沿溪流分布
  - 围绕公共建筑分布
  - 沿公路分布
- 双凤村传统民居的转角设计主要是为了 ( )
  - 适应潮湿环境
  - 便于就地取材
  - 充分利用空间
  - 追求视觉美观
- 摆手堂(含土王祠)、风雨桥为双凤村村民进行公共活动和交流提供场所,这体现了乡村公共空间的 ( )
  - ①均衡性 ②经济性 ③公益性 ④文化性
  - ①②
  - ①③
  - ②④
  - ③④

[2021·北京卷] 我国某镇利用当地主产的粮食制作粮画,打造粮画小镇。图a是M学校设计的小镇地理位置指示牌,图b是该校设计的四条“行走的思政课”精华路线示意图。读图,回答4~5题。



- 该镇 ( )
  - 位于北京东南方向
  - 地处华北平原
  - 粮画原料主要是稻米
  - 水路交通便捷
- 图中最短的精华路线里程约为 ( )
  - 5千米
  - 10千米
  - 15千米
  - 20千米
- [2020·江苏卷] 选择大洋航线时,应在确保航行安全的前提下,充分考虑气象、海况条件和岛礁等因素,尽可能沿地球表面大圆(以地心为圆心过地表两点的圆)航行。下图为巽他海峡西行好望角的大洋航线示意图。60°E以东航线的选择,主要考虑的是 ( )
  - 航程最短
  - 风阻最小
  - 逆水最短
  - 岛礁最少



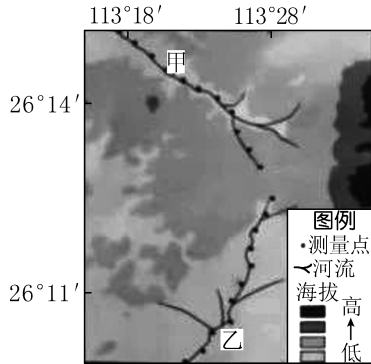
图例 1月航线 7月航线

- 航程最短
- 风阻最小
- 逆水最短
- 岛礁最少

## 考点2 地理图像绘制

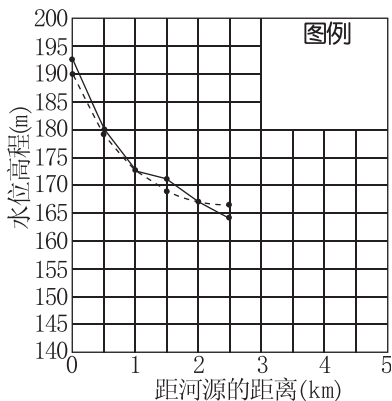
1. (14分)[2023·湖南卷] 阅读图文材料,完成下列要求。

甲河与乙河发源于某山地两侧(见下图)。某科研小组调研发现,甲河流经地区的岩石节理发育,压实和成岩作用相对较弱。下表示意两条河流河源段测量点的水位高程。



距河源的距离 (km)	测量点水位高程 (m)	
	甲河	乙河
0.0	192	190
0.5	180	179
1.0	172	172
1.5	171	169
2.0	167	167
2.5	164	166
3.0	163	162
3.5	161	155
4.0	157	154
4.5	151	153
5.0	142	152

(1)请补充两条河流河源段的水位高程变化曲线和图例。(4分)

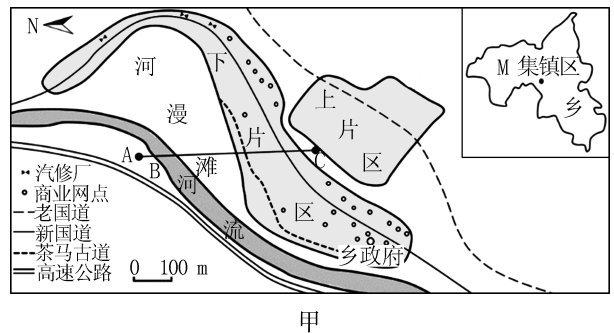


(2)科研小组预测两条河流会发生袭夺。请判断袭夺关系,并说明理由。(6分)

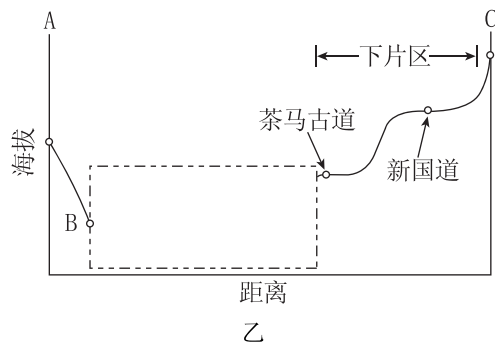
(3)北斗卫星导航系统在本次调研中得到了充分的应用,请说明可以应用在哪些具体方面。(4分)

2. (3分)[2023·山东卷] 阅读图文资料,完成下列要求。

M乡位于我国西南山区,其集镇区由上下两片区组成(见图甲)。上片区主要为居住区,居民多从事农业活动;下片区为乡政府所在地,居民主要从事联系松散的非农业活动。历史上的茶马古道从下片区内的河流一级阶地经过。

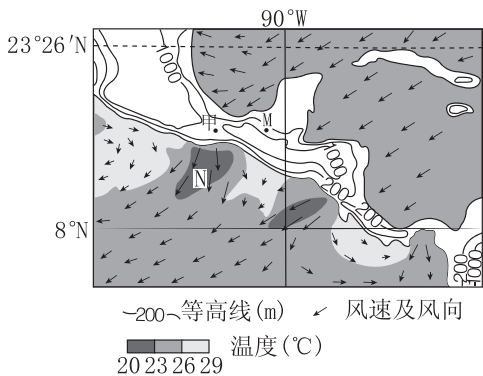


图乙示意图甲中 AC 一线的地形剖面,在虚线框内将缺失部分补充完整。



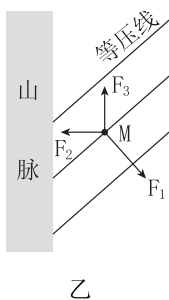
3. (14分)[2022·山东卷] 阅读图文材料,完成下列要求。

冬半年,美洲中部地区频繁受冷空气影响。图甲示意2000年1月一次冷空气南下过程中,美洲中部附近海洋表层风场和海平面气温分布。甲处南北两侧的气压梯度较大。



甲

(1)图乙示意M点所在水平面上的等压线分布及空气质点的瞬时受力平衡情况。在图中用 $\rightarrow$ 画出M点风向,并指出山脉的阻挡对冷空气运动的影响。(4分)

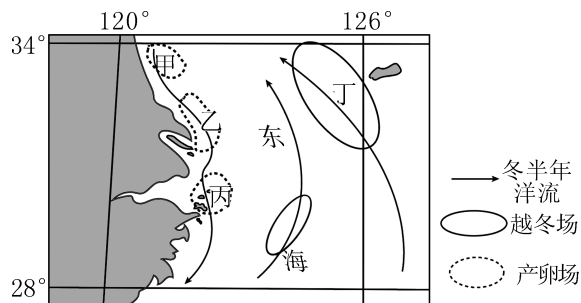


乙

(2)在冷空气频繁南下的影响下,N海域表层水温较低、海产丰富。分析其原因。(10分)

4. (10分)[2021·福建卷] 阅读图文资料,完成下列要求。

厘清鱼类洄游规律,对渔业可持续发展具有重要意义。小黄鱼属于暖温性洄游鱼类,产卵洄游一般随水温变暖启动。产卵洄游时,小黄鱼游到某一产卵场后,一部分留下,另一部分继续前行至其他产卵场。下图示意某海域部分小黄鱼产卵场和越冬场分布。

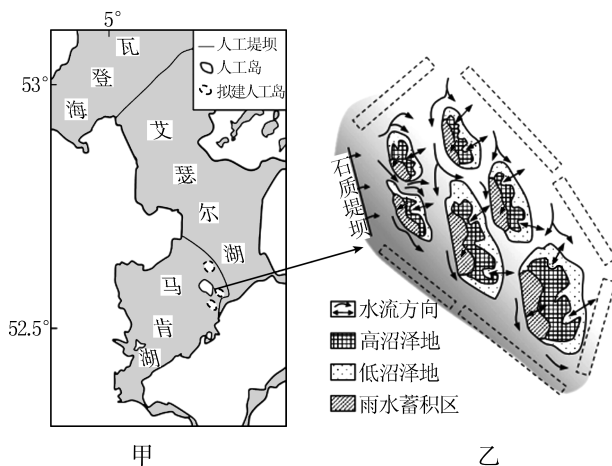


(1)分析丁海域成为小黄鱼越冬场的有利条件。(4分)

(2)画出3月初小黄鱼从丁越冬场出发,经过甲、乙、丙三个产卵场的洄游线路,并解释小黄鱼沿该线路产卵洄游的现象。(6分)

5. (3分)[2021·山东卷] 阅读图文资料,完成下列要求。

荷兰北部的马肯湖是围海造陆工程的遗留物,由人工堤坝与相邻水域隔开,水深仅2~4米,风浪较小(图甲)。长期以来,马肯湖淤积严重,水体浑浊,生态系统受到损害。2015年,荷兰政府决定采用人工群岛方案对湖泊进行治理。该方案提出利用疏浚淤泥、人工抛沙等技术,构建由沙坝、沼泽、沟渠和植物等组成的人工岛(图乙)。其中,沙坝是抵挡盛行风引起的风浪的主要屏障,沼泽是由湖底淤泥堆积而成。在风、波浪、地势高差和水流等自然力量驱动下,人工岛内外形成了弱环流。



甲

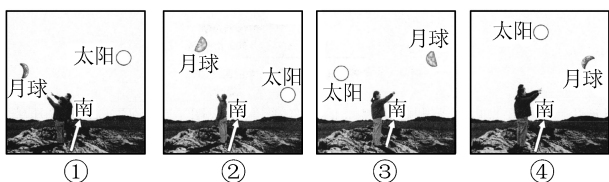
乙

从图乙中找出人工岛周边建造沙坝的合理位置,并在相应虚线框内填涂阴影。

### 考点3 地球自转及其地理意义

[2023·浙江1月选考] 某中学地理社团组织成员开展月相观测。2021年2月19日农历正月初八,有同学用肉眼在湛蓝的天空中观测到了日、月同天景象,并作记录。同时,部分同学还从网上查到,位于(0°,105°W)的地点可观测到月球正在地平线落下。完成1~2题。

1. 同学记录的日、月位置和月相正确的是 ( )

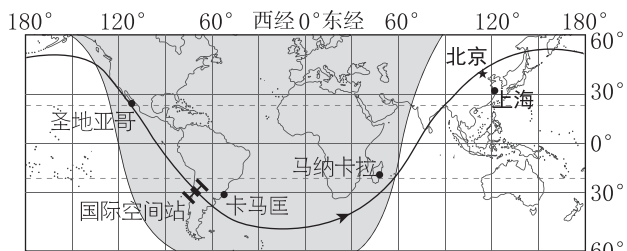


A. ① B. ② C. ③ D. ④

2. 此时,赤道与晨、昏线交点的经度最接近的分别是 ( )

A. 15°W、165°E B. 105°W、75°E  
C. 165°E、15°W D. 75°E、105°W

[2022·江苏卷] 国际空间站距地面约420千米,每90分钟环绕地球一周。空间站反射阳光,在一定条件下,人们肉眼可以看到明亮的光点划过天空。下图为国际空间站某时段轨迹和某时刻位置示意图,图中阴影表示黑夜。据此回答3~4题。



3. 空间站到达北京上空约需 ( )

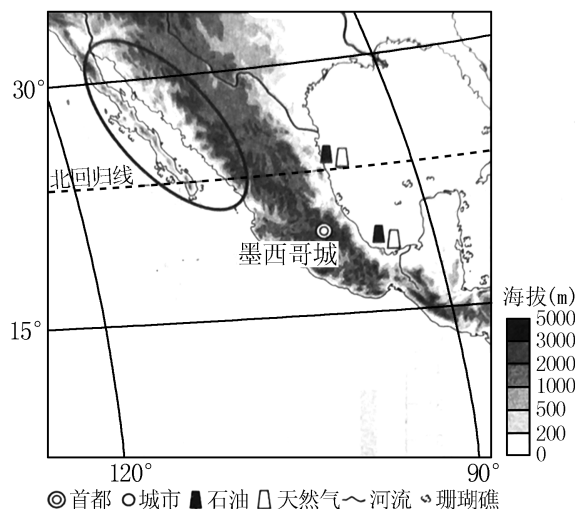
A. 15分钟 B. 30分钟  
C. 45分钟 D. 60分钟

4. 空间站到达北京上空时,北京时间大致是 ( )

A. 9:40 B. 10:10  
C. 10:40 D. 11:10

5. [2021·辽宁卷] 墨西哥拥有丰富的石油和天然气资源,但石油加工能力弱。2010年以来,墨西哥天然气消费量超过生产量,缺口逐年扩大,一半以上需从美国进口。目前墨西哥逐渐用天然气替代石油作

为发电的主要燃料,并大力提高可再生能源的份额。下图为墨西哥及周边地区地理要素分布图。6月1日,在M城海滨散步的游客看到了绚丽的日落景观,此时北京时间约是 ( )



A. 6月1日4:20  
B. 6月1日19:00  
C. 6月2日8:00  
D. 6月2日8:20

6. [2021·广东卷] 据报道,北京时间2021年4月29日,包括我国搭载空间站天和核心舱的长征5号B等三枚运载火箭先后发射升空。三个发射场均位于海岸线附近。下表为三枚运载火箭发射的相关信息。三枚火箭发射离开地球表面的先后顺序为 ( )

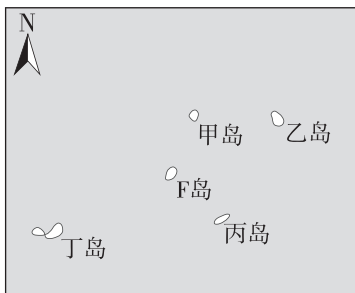
运载火箭名称	发射场	发射时间
中国长征5号B	海南文昌航天发射场	北京时间4月29日11时23分
欧洲织女星	库鲁(5°14'N, 52°47'W)	西三区区时4月28日22时50分
美国猎鹰9号	卡纳维拉尔角(28°29'N, 80°35'W)	西五区区时4月28日22时44分

A. 长征5号B、织女星、猎鹰9号  
B. 长征5号B、猎鹰9号、织女星  
C. 织女星、长征5号B、猎鹰9号  
D. 织女星、猎鹰9号、长征5号B

## 考点4 地球公转及其地理意义

[2024·山东卷]

小明暑假乘船到F岛旅游。下船后,小明发现太阳当空,周围的人却“没有”影子,他记录了当时的时间为北京时间8月21日0:04。

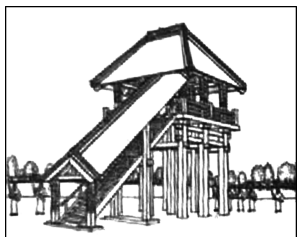


当地时间下午,小明从F岛乘船去往某岛屿观光,途中发现游船甲板中心处旗杆的影子多数时间指向船行进的方向。右图示意F岛及其周边区域。据此完成1~2题。

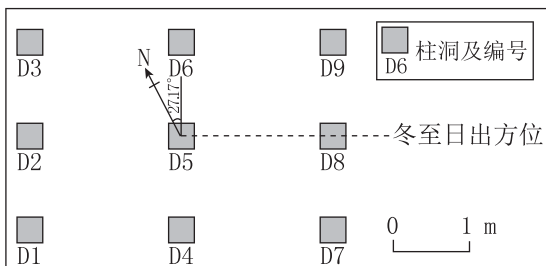
- F岛的位置可能是 ( )  
A.  $12^{\circ}\text{N}, 61^{\circ}\text{W}$       B.  $12^{\circ}\text{N}, 121^{\circ}\text{W}$   
C.  $20^{\circ}\text{N}, 61^{\circ}\text{W}$       D.  $20^{\circ}\text{N}, 121^{\circ}\text{W}$
- 当地时间下午,小明去往的岛屿最可能是 ( )  
A. 甲岛      B. 乙岛  
C. 丙岛      D. 丁岛

[2024·广东卷]

距今约3000年前的金沙遗址( $30^{\circ}41'\text{N}, 104^{\circ}01'\text{E}$ )是古蜀国时期的一处大型聚落遗址。在该遗址祭祀区的东部,有一处九柱建筑基址,其9个柱洞呈“田”字形分布。研究发现,这些柱洞分布具有一定的天文属性。图甲为九柱建筑的复原示意图,图乙示意该建筑柱洞平面分布及当时冬至日的日出方位。据此完成3~4题。



甲



乙

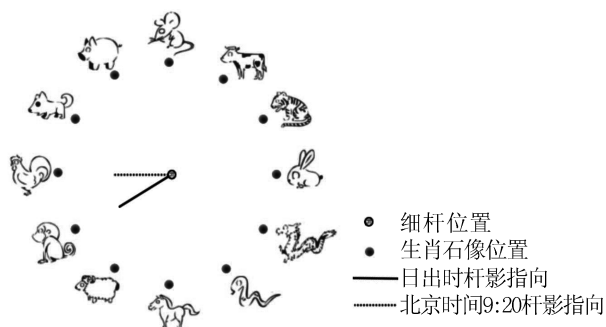
- 如果当时祭祀人员站在图乙中的D5处,他在夏至日看到的日出方位位于 ( )  
A. D5→D6 连线方向      B. D6 和 D9 之间  
C. D5→D9 连线方向      D. D8 和 D9 之间

4. 已知3000年前的黄赤交角比现今大,与现在遗址地居民相比,则当时金沙先民在 ( )

- 春分日看到日出时间更早
- 夏至日经历更长的夜长
- 秋分日看到日落时间更晚
- 冬至日经历更短的昼长

[2023·山东卷]

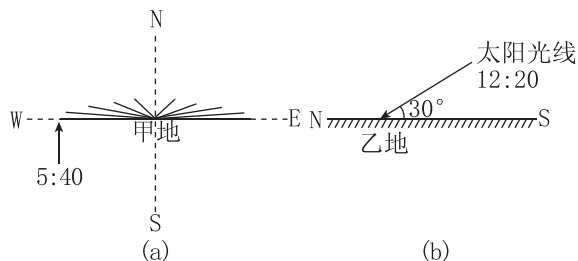
某文化广场( $37^{\circ}\text{N}, 105^{\circ}\text{E}$ )上的十二生肖石像均匀排列成圆形,生肖鼠位于正北方。小明在圆中心竖立一根细杆,以观察太阳周日视运动变化。下图示意夏至日两个时刻的杆影指向。据此完成5~6题。



- 该地夏至日地方时16:00时,杆影指向 ( )  
A. 生肖虎      B. 生肖虎与兔之间  
C. 生肖兔      D. 生肖兔与龙之间
- 11月至次年2月,一日内被杆影指向的生肖石像个数最多为 ( )  
A. 5个      B. 6个      C. 7个      D. 8个

[2023·海南卷]

对日影和太阳高度变化的观测可以判断地理位置、地方时等要素。图(a)为甲地某日日出至日落期间标杆的日影变化示意图,当日影朝正北方向时,标杆长度与其日影长度相等。图(b)为乙地同一日正午时刻的太阳高度示意图。图中时间均为北京时间。据此完成7~8题。



- 观测当日 ( )  
A. 甲地昼长夜短      B. 乙地昼短夜长  
C. 甲地昼长大于乙地      D. 甲乙两地昼夜等长
- 甲地位于乙地 ( )  
A. 东南      B. 西南      C. 东北      D. 西北

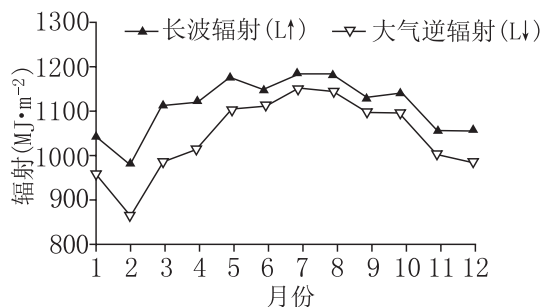
## 考点5 大气组成、分层、受热过程与大气运动

[2024·浙江1月选考] 南美洲赤道附近的钦博拉索峰海拔6310米。1802年该峰植被分布上限是4600米,2012年上升到5185米。研究表明植被上限上升段的土壤温度有所升高。完成第1题。

1. 从受热过程看,引起植被上限上升段土壤温度升高的主要原因是 ( )

- A. 地面辐射减少
- B. 大气辐射减少
- C. 太阳辐射增加
- D. 地面吸收增加

[2024·广东卷] 有效辐射为下垫面向上长波辐射与大气逆辐射的差值。下图表示2003—2012年云南省西双版纳热带季雨林林冠层向上长波辐射( $L_{\uparrow}$ )及其上大气逆辐射( $L_{\downarrow}$ )的月平均变化。据此完成2~3题。



2. 与7—9月相比,2—4月西双版纳热带季雨林林冠层之上的大气逆辐射值较低,主要是因为2—4月期间 ( )

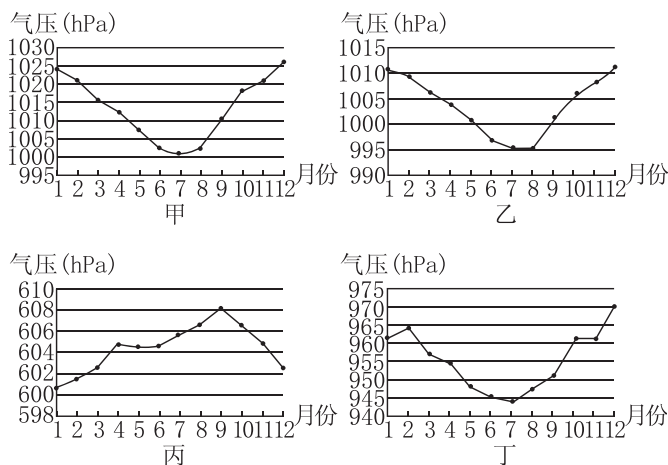
- A. 降水较多
- B. 云雾较少
- C. 地表植被覆盖度较低
- D. 正午太阳高度角较大

3. 根据有效辐射变化可知,一年中该地热带季雨林的林冠层 ( )

- A. 表面的温度保持恒定
- B. 热量主要来自大气层

- C. 各月都是其上表层大气的冷源
- D. 夏季对大气加热效果小于冬季

[2023·湖北卷] 下图示意我国四个国家气象观测站测得的2018—2022年地面站点各月平均气压状况。据此完成4~6题。



4. 甲、乙、丙、丁四个站点分别位于 ( )

- A. 海口、武汉、乌鲁木齐、拉萨
- B. 武汉、海口、拉萨、乌鲁木齐
- C. 乌鲁木齐、武汉、拉萨、海口
- D. 武汉、乌鲁木齐、海口、拉萨

5. 丙地气压夏季高于冬季的主要原因是 ( )

- ①夏季热,气流辐合
- ②夏季热,气流辐散
- ③冬季冷,气流辐合
- ④冬季冷,气流辐散

- A. ①③
- B. ①④
- C. ②③
- D. ②④

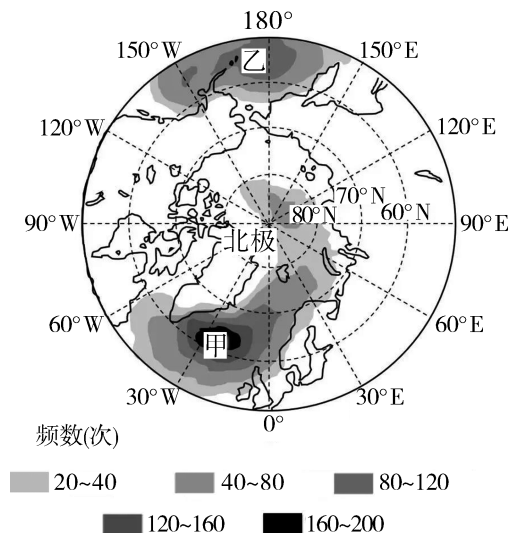
6. 影响四地气压年变化差异的主要因素有 ( )

- ①地理纬度
- ②天气状况
- ③海拔高度
- ④海陆性质

- A. ①②③
- B. ①②④
- C. ①③④
- D. ②③④

## 考点6 气压带和风带

[2022·广东卷] 某研究统计了50°N以北地区1979—2016年发生的所有气旋,并将中心气压值最低的前5%的气旋定义为超强气旋。下图示意该地区1979—2016年超强气旋总频数空间分布。据此完成1~2题。



1. 影响图中北大西洋地区超强气旋生成的气压带、风带主要是 ( )

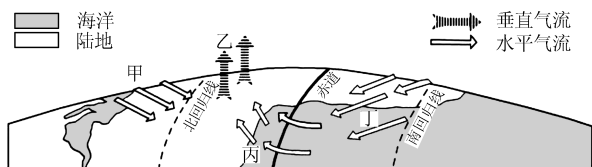
- ①副极地低气压带
- ②副热带高气压带
- ③极地东风带
- ④盛行西风带
- ⑤东北信风带

- A. ①③④                      B. ①③⑤  
C. ②③④                      D. ②④⑤

2. 冬季甲区域的超强气旋比乙区域多发,从洋流的影响考虑,是因为甲区域 ( )

- A. 寒流的范围更广
- B. 离岸流规模更大
- C. 暖流的势力更强
- D. 沿岸上升流更盛

[2021·浙江1月选考] 下图为非洲西部局部大气环流示意图。完成3~4题。



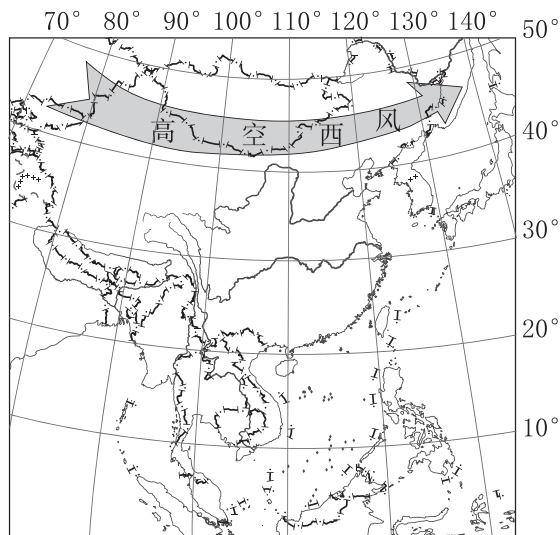
3. 图中 ( )

- A. 甲风带的风向有明显季节变化
- B. 乙气流因受动力因素影响而上升
- C. 丙风向形成受地转偏向力影响
- D. 丁风带为大陆西岸带来充足水汽

4. 图示季节,最可能出现的现象有 ( )

- A. 北印度洋的洋流呈逆时针流动
- B. 黄河中游含沙量明显增加
- C. 北半球副极地低气压带被切断
- D. 地中海沿岸地区温和多雨

[2021·海南卷] 研究表明,中纬西风厚度从近地面可达对流层的上部,受海陆热力性质差异影响,近地面西风带会被破坏。下图示意亚洲部分地区某季节高空(海拔约5500米高度)西风的位置。据此完成5~6题。



5. 此季节江西和湖北等地出现持续高温天气,其原因是 ( )

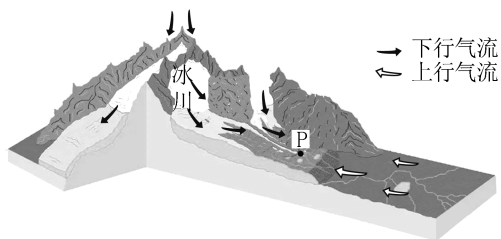
- A. 中纬西风向南快速移动
- B. 南海热带气旋活动频繁
- C. 西太平洋副高西伸登陆
- D. 北方冷空气快速向北退缩

6. 图示高空西风 ( )

- A. 向南移动最远到30°N附近
- B. 南北移动是地球自转引起的
- C. 不受地转偏向力影响
- D. 南侧是副极地低压

## 考点7 常见天气系统

[2024·广东卷] 下图为珠穆朗玛峰南坡某冰川区暖季上、下行气流运动状况示意图。据此完成1~2题。



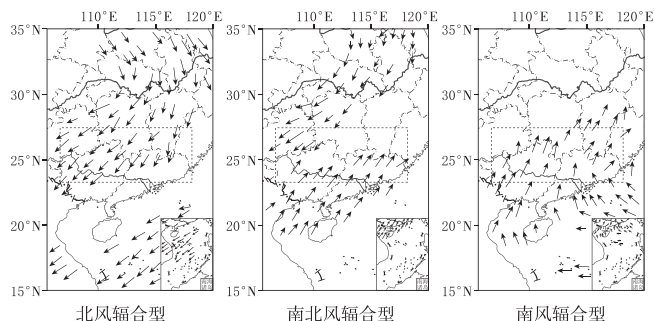
1. 若暖季上、下行气流常在图中P地附近交汇,则 该地 ( )

- A. 大气下沉气流增强
- B. 冰面的流水作用减弱
- C. 局地降水概率增加
- D. 下行风焚风效应减弱

2. 近30年来,该地区暖季午间下行气流势力呈现增强趋势,由此可引起P地附近 ( )

- A. 年均气温趋于降低
- B. 冰川消融加快
- C. 年降水量趋于增加
- D. 湖泊效应增强

[2022·湖南卷] 根据关键区域(虚线框内)风场辐合情况,冬季强华南准静止锋可分为三类。下图示意三类冬季强华南准静止锋及其850百帕等压面上 $\geq 4\text{m/s}$ 的风场。据此完成3~4题。



3. 与北风辐合型相比,南风辐合型关键区域降水更多。下列解释合理的是 ( )

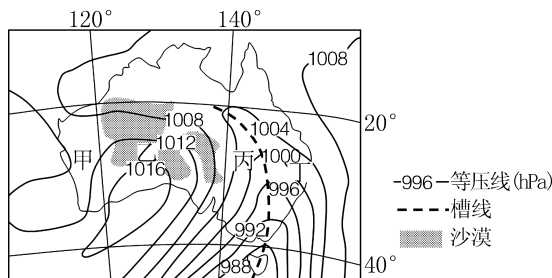
- A. 雨区范围更大
- B. 冷空气势力更强
- C. 水汽量更充足
- D. 地形阻挡更明显

4. 受南北风辐合型冬季强华南准静止锋的影响,广东省北部地区 ( )

- A. 低温雨雪频发
- B. 土壤侵蚀加剧
- C. 河流入汛提前
- D. 昼夜温差增大

5. (24分)[2022·全国甲卷] 阅读图文材料,完成下列要求。

2002年4—10月,澳大利亚大部分地区气候严重异常。同年10月22—23日,一场沙尘量创纪录的沙尘暴袭击了澳大利亚部分地区。下图示意澳大利亚及周边区域当地时间10月23日4时的海平面气压分布。



(1) 推测当年4—10月澳大利亚气候异常的表现,并分析其在沙尘暴形成中的作用。(6分)

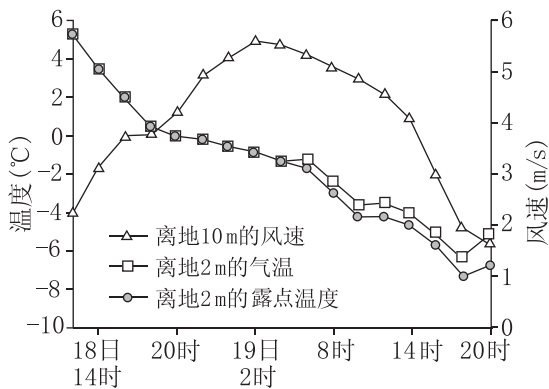
(2) 在图示甲、乙、丙、丁四地区中,指出10月23日4时正在经历沙尘暴的地区并说明判断依据。(6分)

(3) 指出经历此次沙尘暴的地区10月22—23日风向、气温的变化。(6分)

(4) 对于“人类是否应干预沙尘暴”这一问题,提出自己的观点,并说明理由。(6分)

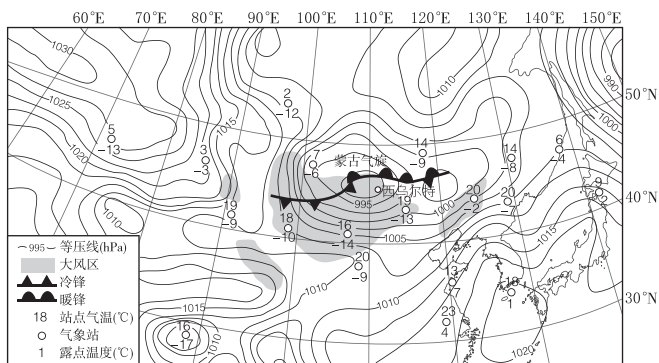
## 考点8 生活中的地理专项训练——天气变化

[2023·广东卷] 露点温度是指气压不变、水汽无增减情况下,未饱和空气因冷却而达到饱和时的温度。下图所示的是2020年11月18—19日吉林省某气象站记录的一次较强降水过程相关信息。据此完成1~2题。



- 此次降水过程呈现的天气变化依次是 ( )
  - 风雨交加、冻雨夹雪、雪花纷飞
  - 疾风骤雨、雪花纷飞、冻雨夹雪
  - 雪花纷飞、风雨交加、冻雨夹雪
  - 风和日丽、冻雨夹雪、和风细雨
- 此次天气过程形成的主要原因是 ( )
  - 对流旺盛
  - 逆温增强
  - 暖锋经过
  - 冷锋过境

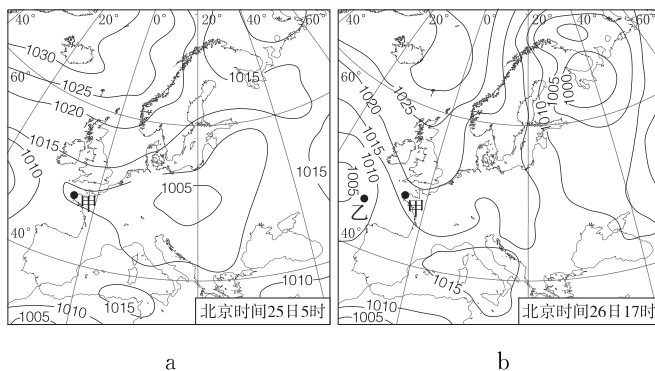
[2023·江苏卷] 蒙古气旋是发源于蒙古国的温带气旋。下图为某年4月9日某时刻亚洲局部地区海平面天气图。据此回答3~5题。



- 图中蒙古气旋总体上 ( )
  - 气压梯度小,冷锋活动弱
  - 气压梯度大,冷锋活动强
  - 气压梯度小,暖锋活动弱
  - 气压梯度大,暖锋活动强

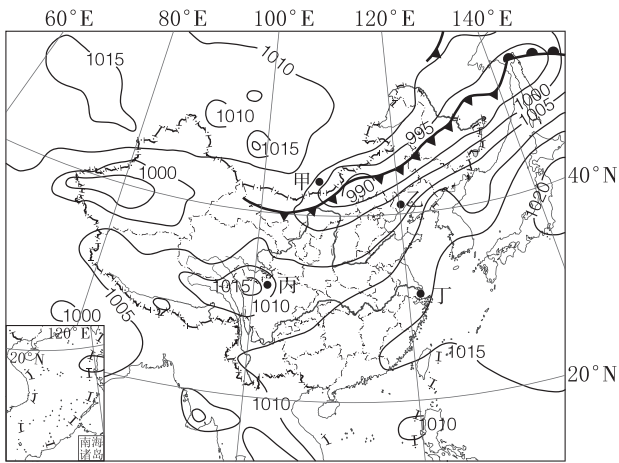
- 此刻影响西乌尔特地区的气团性质是 ( )
  - 冷干
  - 冷湿
  - 暖干
  - 暖湿
- 未来我国受该气旋过境影响最大的地区是 ( )
  - 华中地区
  - 华北地区
  - 东北地区
  - 西北地区

[2022·河北卷] 北京时间2022年4月25—26日,欧洲西部经历了一次明显的天气变化过程,下图示意这两天该区域的海平面等压线(单位:百帕)分布,期间,一艘驶向甲地的货轮正途经乙地(图b)。据此完成6~8题。



- 甲地这两日的天气变化是 ( )
  - 暖锋过境,雨过天晴
  - 气压上升,气温降低
  - 风速减弱,云量增加
  - 阴雨连绵,湿度增大
- 此时,乙地货轮航行状况为 ( )
  - 顺风顺水
  - 逆风逆水
  - 逆风顺水
  - 顺风逆水
- 该货轮以40千米/时的速度由乙地航行约660千米到达甲地,届时甲地正值 ( )
  - 夕阳西下
  - 深夜时分
  - 太阳初升
  - 日近正午

[2022·海南卷] 下图为2022年4月20日20时亚洲部分地区海平面等压线分布图(单位:百帕)。据此完成9~10题。



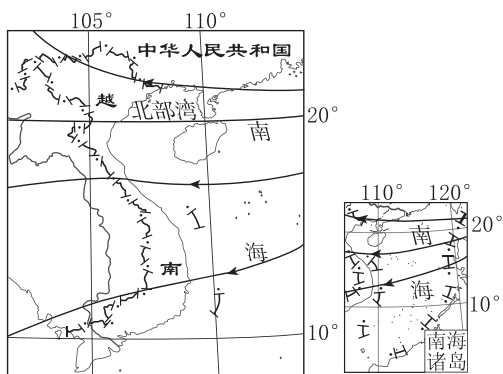
9. 据图,此时 ( )

- A. 甲地大风降温
- B. 乙地北风劲吹
- C. 丙地阴雨连绵
- D. 丁地风大浪高

10. 4月21日上午,北京地面能见度较高,高空出现浮尘。浮尘升空的动力来源是 ( )

- A. 冷锋
- B. 反气旋
- C. 低压
- D. 西北风

[2021·山东卷]“克拉香天气”出现在越南沿海地区,是一种持续时间较长的雾天伴随蒙蒙细雨的天气,这种天气在越南北部沿海比南部沿海出现的概率更大。下图示意克拉香天气出现时段的风向。据此完成11~12题。



11. 越南北部沿海出现克拉香天气的概率更大,主要因为北部沿海比南部沿海 ( )

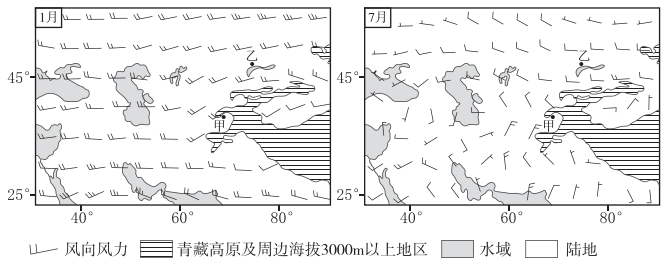
- ①风速小 ②地面温度低 ③地势低 ④空气湿度大
- A. ①②
- B. ①③
- C. ②④
- D. ③④

12. 克拉香天气易出现的时间段是 ( )

- A. 2—4月
- B. 5—7月
- C. 8—10月
- D. 11月—次年1月

13. (18分)[2023·辽宁卷]阅读材料,完成下列问题。

在对流层的中低层,风的辐合、辐散和水汽输送是影响天气和气候的重要因子。辐合是水平气流的流速降低或流向变化造成气流聚集而产生的上升运动,辐散是水平气流的流速增加或流向变化造成气流分散而产生的下沉运动。下图为1981—2010年中亚及周边地区中低层平均风场分布图。



(1)分析甲地1月降水的成因。(6分)

(2)指出7月影响甲地的主要天气系统,分析该系统对甲地天气的影响。(6分)

(3)与甲地相比,说明乙地的气候特点。(6分)

## 考点9 气候类型与自然景观

[2023·山东卷] 在亚欧大陆与美洲大陆北部, 有一条横贯东西、面积广大的亚寒带针叶林带, 因其生态系统结构简单而被称为“绿色荒漠”, 但却具有巨大的生态价值, 是全球重要的生物碳库之一。据此完成1~2题。

1. 导致亚寒带针叶林带成为“绿色荒漠”的主要因素是 ( )

A. 光照 B. 热量 C. 水分 D. 土壤

2. 亚寒带针叶林碳储量较高的主要原因是 ( )

A. 生长季较长 B. 有机物积累多  
C. 土壤肥力高 D. 物种多样性高

[2023·全国乙卷] 位于日本海附近的珲春与内陆的辽源各日最高气温时刻(北京时间)的月均值不同(下表)。规定各日最高气温时刻与月均值相差超过1小时为偏离。据此完成3~5题。

气象台站	经度	纬度	1月各日最高气温时刻均值	1月偏离天数(天)	7月各日最高气温时刻均值	7月偏离天数(天)
珲春	130.35°E	42.86°N	约14时00分	20.8	约14时40分	19.6
辽源	125.15°E	42.90°N	约13时20分	14.4	约13时50分	17.2

3. 珲春7月各日最高气温时刻均值滞后当地正午约 ( )

A. 1小时40分钟 B. 2小时00分钟  
C. 2小时40分钟 D. 3小时20分钟

4. 珲春的最高气温时刻月均值滞后当地正午的时间长于辽源, 原因是珲春 ( )

A. 降水多 B. 受海洋影响强  
C. 风力强 D. 受山地影响强

5. 辽源冬季偏离天数少, 说明辽源冬季多 ( )

A. 雨雪天气 B. 温带气旋  
C. 晴朗天气 D. 冷锋过境

[2024·湖北卷] “看樱花, 到武大。”每年三月, 成千上万游客的浪漫约定, 就是到樱顶赏珞樱。#武大樱花开了吗#这一关于武汉大学樱花花期的

话题频频登上热搜。樱花盛开时节, 樱花大道洁白如雪, 灿若云霞, 珞樱缤纷, 美不胜收。根据物候学理论, 气候条件对植物开花早晚有重要影响。下表反映1947—2022年武汉大学樱花花期的变化情况。下图示意武汉大学樱花景观。据此完成6~8题。



年份	平均十年开花日期	平均十年落花日期
1947—1956年	3月22日	4月2日
1957—1966年	3月21日	4月2日
1967—1976年	3月23日	4月5日
1977—1986年	3月18日	4月1日
1987—1996年	3月13日	4月1日
1997—2006年	3月13日	3月31日
2007—2016年	3月12日	3月28日
2017—2022年	3月9日	3月25日

6. 据上表数据分析可知, 武汉大学樱花绽放日期总体上 ( )

A. 显著提前, 但花期更短  
B. 显著提前, 但花期更长  
C. 明显推迟, 但花期更短  
D. 明显推迟, 但花期更长

7. 推测影响武汉大学樱花开花早晚的主要气象因素是 ( )

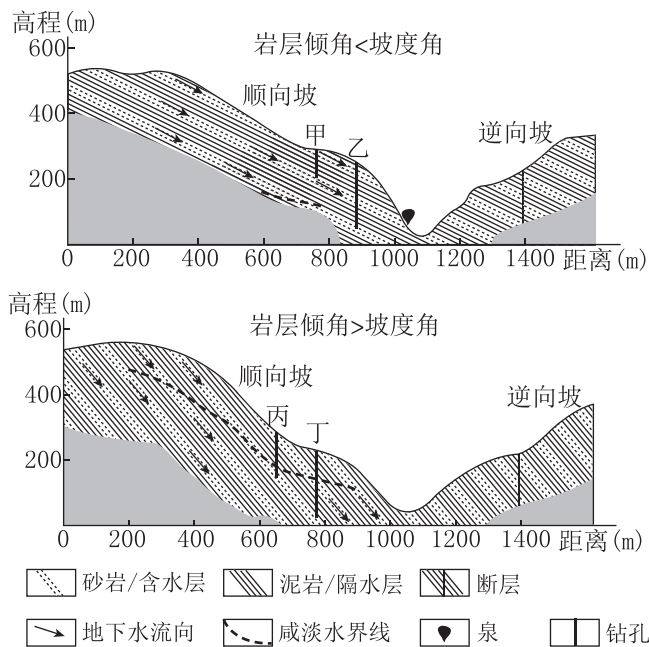
A. 气温 B. 气压  
C. 降水 D. 日照

8. 武汉大学作为全国知名度极高的赏樱地, 其独特魅力在于 ( )

A. 自然环境优美 B. 基础设施完善  
C. 人文底蕴深厚 D. 学术大师云集

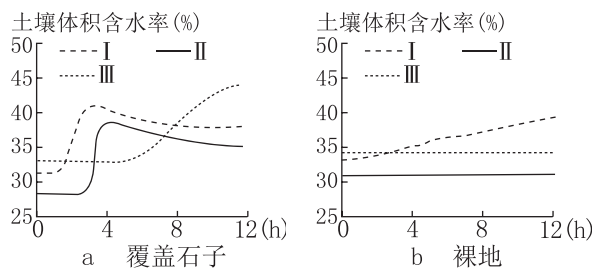
## 考点 10 水循环、陆地水体及其相互关系

[2024·湖北卷] 四川盆地西南缘严重缺水地区地下水多咸水。该区砂岩与泥岩(含盐多)交替分布,具有“丘坡补给、谷地排泄”的特点。研究发现,地下水排泄条件好,盐分不易积累,发育淡水;反之则发育咸水。下图示意不同丘坡地下水排泄条件。据此完成 1~3 题。



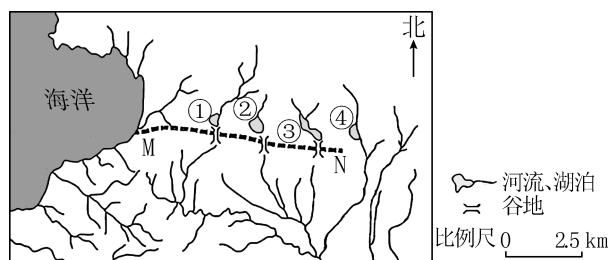
- 据图分析,下列情况中,地下水排泄条件最好的是 ( )
  - 顺向坡,岩层倾角小于坡度角,有地下水出露地表
  - 顺向坡,岩层倾角大于坡度角,无地下水出露地表
  - 逆向坡,岩层倾角小于坡度角,有地下水出露地表
  - 逆向坡,岩层倾角大于坡度角,无地下水出露地表
- 图中所示的四个钻孔中可打出淡水的是 ( )
  - 甲
  - 乙
  - 丙
  - 丁
- 为保证水质优良、水量充足,该区地下水开采的最优策略是 ( )
  - 在断裂带附近开采
  - 在不同岩性区域均匀开采
  - 在含泥岩地层开采
  - 在井深较浅处分散式开采

[2024·新课标全国卷] 土壤水分转化是联系降水、地表水、地下水的重要环节。某科研小组进行人工降雨实验,测量降雨前后土壤体积含水率随时间的变化过程:降雨情景相同,土壤质地相同;在 30° 的坡地上设置覆盖石子、裸地两种情况;土壤体积含水率的测量深度分别为 30 厘米、60 厘米和 100 厘米。实验结果如图所示。据此完成 4~6 题。



- 据图 a 判断曲线 I 是深度为 30 厘米的土壤体积含水率变化曲线,依据是曲线 I ( )
  - 变化最早
  - 初始值适中
  - 峰值最高
  - 波动最大
- 图 b 中曲线 II 和 III 没有明显变化,表明 ( )
  - 降雨最大
  - 地表产流多
  - 土壤水分饱和
  - 雨水下渗多
- 相对于裸地,坡地上覆盖石子有利于增加 ( )
  - 地表径流
  - 地下径流
  - 土壤水分
  - 蒸发
  - ①③
  - ①④
  - ②③
  - ②④

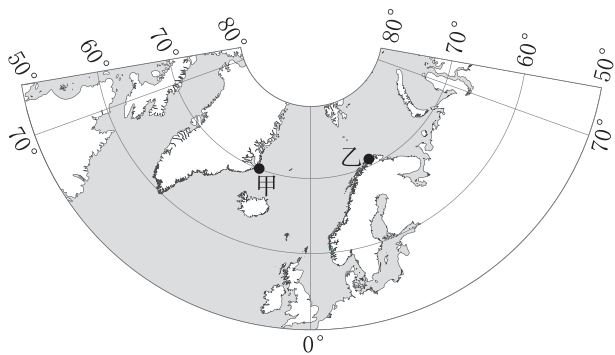
[2023·全国甲卷] 下图显示地中海北岸某地水系分布,①②③④为湖泊,其中①②③分别与入湖河流构成独立水系。研究者在野外考察中发现,①②③南侧高地上均存在谷地,谷底卵石堆积。研究表明该地曾发生过水系重组。据此完成第 7 题。



- 推测①②③的湖泊类型、湖水主要输出方式分别为 ( )
  - 淡水湖、下渗
  - 淡水湖、蒸发
  - 咸水湖、下渗
  - 咸水湖、蒸发

## 考点 11 海水性质、海水运动与海—气相互作用

[2024·广东卷] 峡湾是冰川“U”形谷后期被海水淹没而形成的槽形谷。极地气候峡湾几乎常年被海冰或冰川覆盖,而温带气候峡湾全年几乎没有海冰覆盖。下图示意在北半球发育极地气候峡湾的甲地和发育温带气候峡湾的乙地位置。据此完成 1~2 题。



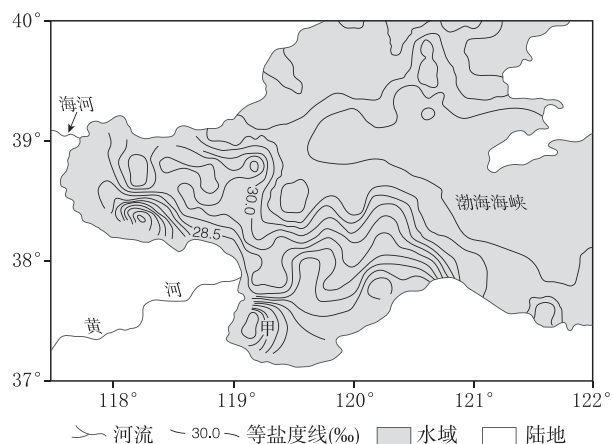
1. 与甲地对比,温带气候峡湾在乙地发育的主要原因是乙地 ( )

- A. 冬季白昼的时长更长
- B. 受到了暖流增温影响
- C. 经历了更强的构造运动
- D. 海平面上升的幅度更大

2. 研究发现,极地气候峡湾沉积物中有机碳的累积速率往往较温带气候峡湾低,主要是因为极地气候峡湾区 ( )

- ① 植被覆盖度更低
  - ② 入海的径流更少
  - ③ 海水的盐度更低
  - ④ 波浪的动力更小
- A. ①② B. ①③ C. ②④ D. ③④

[2023·辽宁卷] 沿岸水是河水与海水在沿岸混合而成的水体。受盛行风、海岸线形态、入海径流和海水运动等因素影响,渤海南部沿岸水的盐度、运动范围等季节变化较明显。下图为渤海局部海域 1 月盐度分布图。据此完成 3~5 题。



3. 图中甲海域低值中心形成的主要原因是 ( )

- A. 海域结冰少
- B. 径流汇入多
- C. 沿岸水蒸发少
- D. 沿岸水积聚多

4. 1 月渤海与黄海海水交换的模式是 ( )

- A. 南进北出
- B. 北进南出
- C. 中间进南北出
- D. 南北进中间出

5. 与 1 月相比,推测 7 月 ( )

- A. 甲海域与渤海海峡盐度差变小
- B. 渤海南部沿岸水范围向东扩大
- C. 渤海与黄海之间海水交换加强
- D. 渤海南部沿岸水盐度明显降低

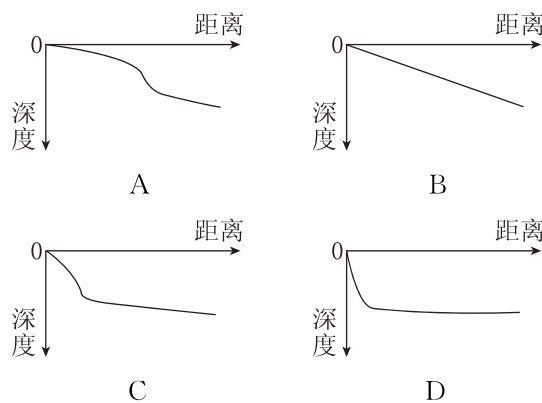
[2023·江苏卷] 澳大利亚西海岸的蒙基米亚拥有典型的砂质海岸,该地是游客全年与野生海豚互动的最佳地点。下图为游客与野生海豚互动照片。据此回答 6~7 题。



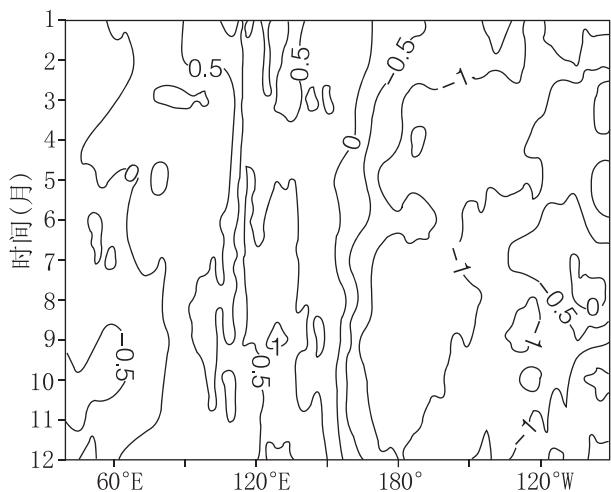
6. 游客在蒙基米亚全年都能与野生海豚互动,主要取决于 ( )

- A. 海水密度
- B. 海水盐度
- C. 海水温度
- D. 海水水质

7. 最有利于游客与野生海豚互动的蒙基米亚海底剖面形态是 ( )

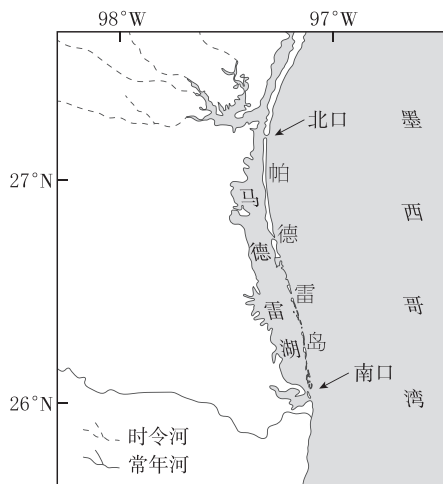


[2023·河北卷] 海水温度分布状况影响大气环流,对天气系统和长期气候变化有着重要影响。下图为某年赤道附近(5°S~5°N)部分海域海表温度距平时间—经度剖面图(单位:°C)。据此完成8~9题。



8. 上图反映该年赤道附近中、东太平洋出现 ( )
- A. 厄尔尼诺现象  
B. 厄尔尼诺现象→拉尼娜现象  
C. 拉尼娜现象  
D. 拉尼娜现象→厄尔尼诺现象
9. 赤道附近中、东太平洋此现象发生时,易出现 ( )
- A. 西北太平洋副热带高压减弱  
B. 中国沿海海平面偏高  
C. 秘鲁沿岸积云对流活动增强  
D. 菲律宾野火灾害偏多

[2023·山东卷] 马德雷湖位于墨西哥湾沿岸(见下图),水体较浅,湖水盐度通常维持在50‰以上。据此完成10~11题。

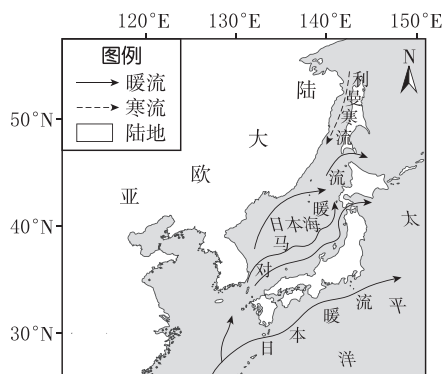


10. 该湖湖水盐度通常维持在50‰以上的主要原因是 ( )
- A. 气候相对干旱      B. 河流带来盐分较多  
C. 沿岸流影响大      D. 湖海水量交换较大

11. 在帕德雷岛南北两侧的水体出入口处,表层水流动方向通常为 ( )
- A. 由海向湖  
B. 南口由海向湖,北口由湖向海  
C. 由湖向海  
D. 北口由海向湖,南口由湖向海

12. (10分)[2023·广东卷] 阅读图文资料,完成下列要求。

日本海背靠亚欧大陆,冬季其西部沿岸海域常有海冰形成。洋流系统对日本海上、下层海水交换强度具有重要影响。在寒冷的末次冰期最盛期(距今21—18千年),日本海几乎与外海分隔。在随后气候转暖过程中,于距今17—15千年期间再次变冷,日本海西部近岸上、下层海水交换强度显著降低。距今约8千年以来,日本海西、中和南部海域的上、下层海水交换强度才呈现同步增强特征。下图示意日本海位置及其现代洋流分布状况。

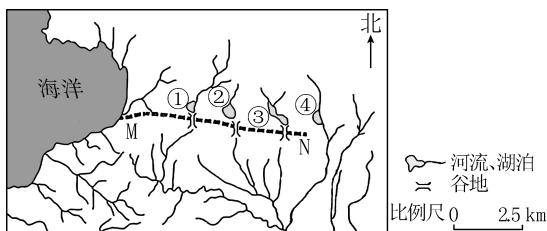


(1)分析在距今17—15千年期间,日本海西部近岸海域上、下层海水交换强度显著降低的原因。(6分)

(2)有人认为现代对马暖流形成于距今约8千年,但也有人并不认同。基于所给材料,请表明你支持的观点,并说明理由。(4分)

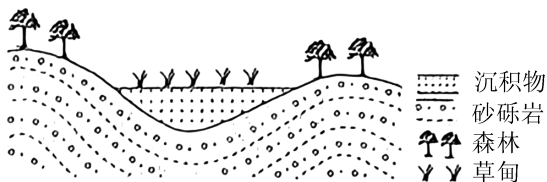
## 考点 12 内力作用与地貌

[2023·全国甲卷] 下图显示地中海北岸某地水系分布,①②③④为湖泊,其中①②③分别与入湖河流构成独立水系。研究者在野外考察中发现,①②③南侧高地上均存在谷地,谷底卵石堆积。研究表明该地曾发生过水系重组。据此完成 1~2 题。



- 判断①②③南侧谷地是 ( )
  - 狭长湖盆
  - 断流河道
  - 古冰川槽谷
  - 泥石流通道
- 据水系变化推测,MN 一线 ( )
  - 南部抬升,北部沉降
  - 南部沉降,北部抬升
  - 褶皱隆起
  - 褶皱凹陷

[2023·全国甲卷] 下图为某区域的典型剖面示意图。该区域的山坡受流水侵蚀,谷地持续接受沉积。山坡多生长森林,谷地中草甸广泛发育。据此完成第 3 题。



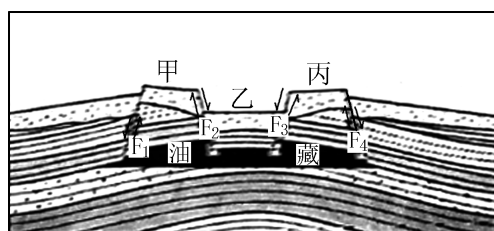
- 奠定该区域地貌基本格局的是 ( )
  - 冰川作用
  - 流水作用
  - 构造运动
  - 风沙作用

[2023·全国乙卷] 新西兰南岛上的南阿尔卑斯山脉(约  $42^{\circ}\text{S}\sim 45^{\circ}\text{S}$ )位于板块边界附近,呈东北—西南走向,其形态受板块运动和以流水为主的外力作用共同影响。某科研团队对该山脉东西向剖面形态进行研究,观测到目前该山脉仍在升高并向西扩展;模拟研究表明未来该山脉升高速度逐渐放缓,高度将趋于稳定。据此完成第 4 题。

- 推测目前该山脉仍在升高并向西扩展是由于 ( )

- 板块挤压
- 火山不断喷发
- 板块张裂
- 岩浆持续侵入

[2021·河北卷] 下图为我国某盆地油藏地质剖面示意图。其中  $F_1\sim F_4$  为断层,在多次区域性水平挤压力作用下,大型背斜油藏受到构造甲、乙、丙的破坏,使石油组分大量散失。据此完成 5~6 题。



- 形成构造甲、乙、丙的局部地质作用是 ( )
  - 水平挤压
  - 水平拉张
  - 垂向挤压
  - 垂向拉张
- 构造甲、乙、丙会导致石油组分大量散失的根本原因是 ( )
  - $F_1\sim F_4$  疏导性能好
  - $F_1\sim F_4$  延伸到地表
  - 石油埋藏层位较浅
  - $F_1\sim F_4$  断至含油层

[2021·北京卷] 读图,回答 7~8 题。



- 图示地区地质地貌演化的顺序是 ( )
  - 甲乙丁丙
  - 乙丙丁甲
  - 丙丁甲乙
  - 丁乙丙甲
- 图甲中,形成最晚的是 ( )
  - ①
  - ②
  - ③
  - ④